

PAPER NAME

**1.B.4.13. Jurnal Saintifik Januari 2022-A
bdy-Pemodelan Matematika SIAS-SI pad
a Penyebaran Penyakit.p**

WORD COUNT

2509 Words

CHARACTER COUNT

14865 Characters

PAGE COUNT

9 Pages

FILE SIZE

237.5KB

SUBMISSION DATE

Jun 20, 2023 10:01 AM GMT+8

REPORT DATE

Jun 20, 2023 10:01 AM GMT+8

● **19% Overall Similarity**

The combined total of all matches, including overlapping sources, for each database.

- 16% Internet database
- 8% Publications database
- Crossref database
- Crossref Posted Content database
- 11% Submitted Works database

● **Excluded from Similarity Report**

- Bibliographic material
- Manually excluded sources
- Manually excluded text blocks

Pemodelan Matematika SIAS-SI pada Penyebaran Penyakit Malaria Asimtomatik dan Super Infeksi

Muhammad Abdy^{*1}, Hasti Maryam², Wahidah Sanusi³

^{1,2,3}Jurusan Matematika – FMIPA – Universitas Negeri Makassar

e-mail: ¹muh.abdy@unm.ac.id; ²hastimaryam47@gmail.com; ³wahidah.sanusi@unm.ac.id

Abstrak

Penelitian ini mengkaji suatu model matematika tipe SIAS-SI pada penyebaran penyakit malaria dengan pengaruh infeksi asimtomatik dan super infeksi. Tujuan penelitian ini adalah menganalisis dan melakukan simulasi pada model untuk memprediksi jumlah kasus malaria yang terbagi kedalam dua kasus, yakni kasus bebas penyakit dan kasus endemik. Penelitian ini merupakan kajian teori yang dilakukan terhadap jurnal penelitian yang telah dilakukan oleh peneliti sebelumnya dan sumber pendukung lainnya untuk mempelajari hal-hal yang berkaitan dengan model SIAS-SI pada penyakit malaria. Dengan menggunakan bilangan reproduksi dasar (R_0), untuk mengetahui status penyebaran penyakit malaria di suatu wilayah. Selain itu, simulasi model pada kasus endemik didapatkan hasil penurunan jumlah kelompok individu terinfeksi asimtomatik pada penyebaran malaria memerlukan waktu yang lama. Sebaliknya pada kasus bebas penyakit, penurunan jumlah kelompok individu terinfeksi asimtomatik memerlukan waktu yang lebih singkat.

Kata Kunci: Penyakit Malaria, Model SIAS-SI, Asimtomatik, Super Infeksi

1. PENDAHULUAN

Malaria merupakan penyakit yang disebabkan oleh infeksi parasit dari nyamuk Anopheles betina genus Plasmodium. Malaria dapat ditularkan melalui gigitan nyamuk yang terinfeksi, transfusi darah, pemakaian jarum suntik, maupun bawaan dan tergolong penyakit yang sangat mematikan bagi manusia (Resmawan & Nurwan, 2017). World Malaria Report 2015 menyebutkan bahwa malaria telah menyerang 106 negara di dunia (Kemenkes RI, 2018). Kondisi malaria di Indonesia menunjukkan bahwa masih terdapat 10,7 juta penduduk yang tinggal di daerah endemis menengah dan tinggi malaria. Daerah tersebut terutama meliputi Papua, Papua Barat, dan NTT. Berdasarkan data pada tahun 2017, dari jumlah 514 kabupaten/kota di Indonesia, 266 (52%) di antaranya wilayah bebas malaria, 172 kabupaten/kota (33%) endemis rendah, 37 kabupaten/kota (7%) endemis menengah, dan 39 kabupaten/kota (8%) endemis tinggi (Kemenkes RI, 2016).

Pemodelan matematika pada penyakit demam berdarah, tuberculosis dan malaria telah dilakukan oleh (Resmawan & Nurwan, 2017) (Syafuruddin & Noorani, 2013) (Syafuruddin & Noorani, 2013) (Syafuruddin, 2015) (Bobby, Syafuruddin et al, 2017) (Rangkuti et al, 2014) (Abdullahi MB et al, 2013) (Laarabi et al, 2012) (Roy M, 2015) (Maryam et al, 2021) (Cai et al, 2017). Penelitian tersebut dilakukan untuk memprediksi jumlah kasus penyakit tersebut. Penelitian yang dilakukan oleh (Resmawan & Nurwan, 2017) (Rangkuti et al, 2014) (Abdullahi MB et al, 2013) (Laarabi et al, 2012) (Roy M, 2015) (Maryam et al, 2021) (Cai et al, 2017) pada penularan malaria mengasumsikan bahwa penderita malaria yang telah sembuh menjadi kebal dan juga tidak memasukkan kelas infeksi asimtomatik, Kemudian model matematika untuk transmisi penyakit malaria (Fajri et al, 2016) menggambarkan model matematika SIS-SI dalam penyebaran penyakit malaria dengan pemberian pengobatan pada manusia dengan asumsi bahwa manusia yang sembuh dapat tertular penyakit akibat oleh parasit hidup dalam darah dari pengobatan yang tidak memadai atau tidak efektif. Selanjutnya, (Resmawan & Nurwan, 2017) membahas model matematika penyebaran malaria tipe SEIRS-SEI dengan pemberian perlakuan pada manusia, berupa treatment vaksinasi dan pengobatan. Selain itu, (Cai et al, 2017) membahas model matematika SEIARS-SEI pada penyakit malaria dengan pengaruh infeksi asimtomatik dan super infeksi guna mengukur tingkat sensitivitas penyebaran penyakit malaria terhadap parameter infeksi asimtomatik. Penelitian ini membangun model SIAS-SI pada penyebaran Malaria, analisis dan simulasi pada penularan malaria dengan mempertimbangkan bahwa penderita malaria yang telah sembuh dapat kembali menjadi suspek dan juga memasukkan variabel terinfeksi asimtomatik ke dalam model.

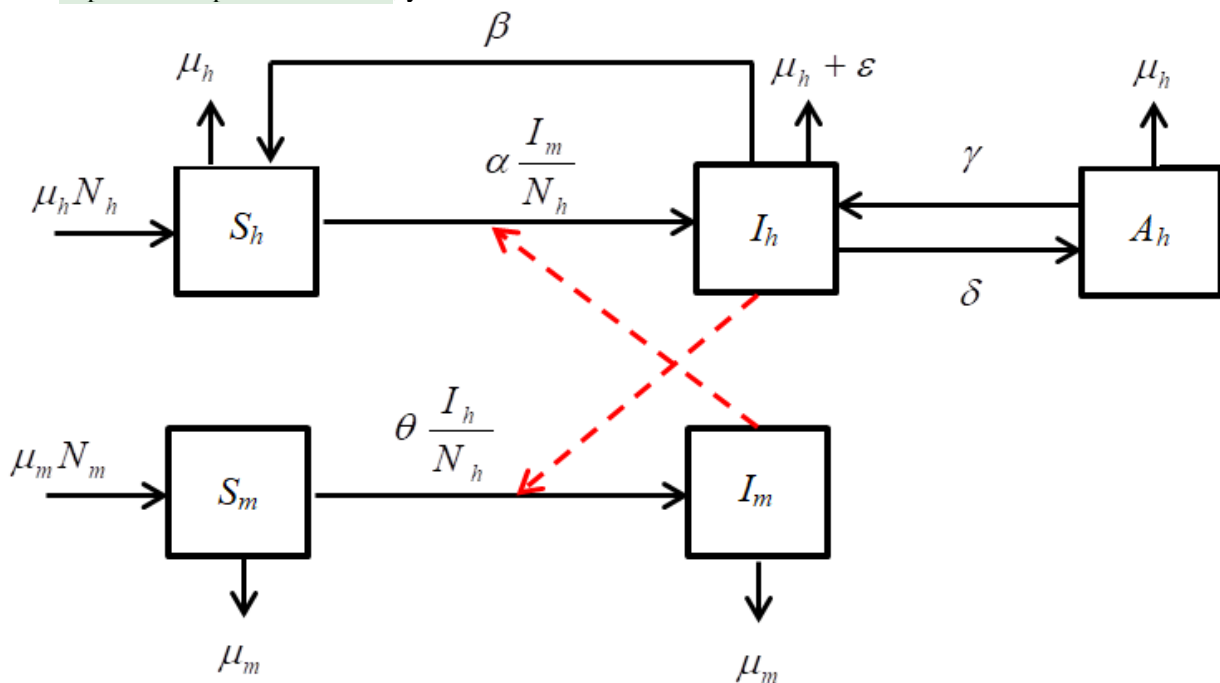
2. METODE PENELITIAN

Jenis penelitian yang digunakan adalah penelitian teori dan terapan, yaitu penelitian yang mengkaji teori dan aplikasinya pada penyebaran Malaria. Tahapan penelitian ini adalah membangun model SIAS-SI pada penularan penyakit malaria, model ini menggunakan kompartemen rentan, infeksi dan asimtomatik pada populasi manusia serta kompartemen rentan dan infeksi pada populasi nyamuk. Analisis model menggunakan metode generasi matriks, data yang digunakan pada simulasi merupakan data asumsi dan parameter dipilih berdasarkan studi yang dilakukan oleh beberapa peneliti sebelumnya, dan sebagian parameter lainnya ditentukan melalui asumsi-asumsi sehingga memenuhi salah satu data keadaan $R_0 \leq 1$ dan $R_0 > 1$. Simulasi model menggunakan Maple untuk memprediksi jumlah kasus malaria pada status bebas penyakit dan endemik.

25. HASIL DAN PEMBAHASAN

3.1 Model Matematika

Skema alur pemodelan matematika SIAS-SI pada penyebaran penyakit malaria asimtomatik dan super infeksi dapat dilihat pada Gambar 1, yakni:



Gambar 1 Skema penularan penyakit malaria model matematika SIAS-SI

4 variabel dan parameter yang digunakan disajikan pada Tabel 1 dan Tabel 2.

Tabel 1 Variabel pada Model SIAS-SI Penyebaran Penyakit Malaria Asimtomatik dan Super Infeksi.

Variabel	Keterangan
S_h	Jumlah individu <i>Susceptible</i> pada manusia
I_h	Jumlah individu <i>Infected</i> pada manusia
A_h	Jumlah individu <i>Asymptomatic Infected</i> pada manusia
S_m	Jumlah <i>Susceptible</i> pada nyamuk
I_m	Jumlah <i>Infected</i> pada nyamuk

Tabel 2 Parameter pada Model SIAS-SI Penyebaran Penyakit Malaria

Parameter	Keterangan
N_h	Laju kelahiran manusia
α	Laju terjadinya infeksi pada manusia
γ	Konstanta laju superinfeksi dari individu yang terinfeksi namun tidak terdeteksi (<i>asymptomatic infected</i>).
δ	Laju perpindahan dari individu yang terinfeksi ke kelompok asimtomatik
β	Konstanta laju pemulihan manusia dari parasit malaria
θ	laju perpindahan nyamuk terpapar ke nyamuk terinfeksi
μ_h	Laju konstan kematian manusia secara alami
ε	Laju konstan kematian manusia karena penyakit malaria
N_m	Laju kelahiran nyamuk
μ_m	Laju konstan kematian nyamuk secara alami

21 Berdasarkan Gambar 1, diperoleh model matematika SIAS-SI penyebaran penyakit malaria seperti pada persamaan (1) – (5) yaitu:

$$\frac{dS_h}{dt} = \mu_h N_h + \beta I_h - \left(\mu_h + \alpha \frac{I_m}{N_h} \right) S_h, \quad (1)$$

$$\frac{dI_h}{dt} = \alpha \frac{I_m}{N_h} S_h + \gamma A_h - (\beta + \delta + \mu_h + \varepsilon) I_h, \quad (2)$$

$$\frac{dA_h}{dt} = \delta I_h - (\gamma + \mu_h) A_h, \quad (3)$$

$$\frac{dS_m}{dt} = \mu_m N_m - \left(\mu_m + \theta \frac{I_h}{N_h} \right) S_m, \quad (4)$$

$$\frac{dI_m}{dt} = \theta \frac{I_h}{N_h} S_m - \mu_m I_m. \quad (5)$$

3.2 Analisis Model

Titik kesetimbangan sistem (1-5) diperoleh dengan cara menyelesaikan persamaan:

$$\frac{dS_h}{dt} = 0, \quad \frac{dI_h}{dt} = 0, \quad \frac{dA_h}{dt} = 0, \quad \frac{dS_m}{dt} = 0, \quad \frac{dI_m}{dt} = 0.$$

Dengan demikian,

$$\mu_h N_h + \beta I_h - \left(\mu_h + \alpha \frac{I_m}{N_h} \right) S_h = 0, \quad (6)$$

$$\alpha \frac{I_m}{N_h} S_h + \gamma A_h - (\beta + \delta + \mu_h + \varepsilon) I_h = 0, \quad (7)$$

$$\delta I_h - (\gamma + \mu_h) A_h = 0, \quad (8)$$

$$\mu_m N_m - \left(\mu_m + \theta \frac{I_h}{N_h} \right) S_m = 0, \quad (9)$$

$$\theta \frac{I_h}{N_h} S_m - \mu_m I_m = 0. \tag{10}$$

3.2.1 Titik Kesetimbangan Bebas Penyakit (x_{dfe})

Titik kesetimbangan bebas penyakit merupakan keadaan dimana penyakit menular tidak menyebar dalam suatu populasi, dan terjadi pada saat $I_h = A_h = I_m = 0$ sehingga diperoleh titik kesetimbangan x_{dfe}

$$x_{dfe} (S_h, I_h, A_h, S_m, I_m) = (N_h, 0, 0, N_m, 0) \tag{11}$$

3.2.2 Titik Kesetimbangan Tidak Bebas Penyakit (x_{ee})

Titik kesetimbangan endemik merupakan keadaan saat penyakit menular menyebar dalam suatu populasi dan terjadi saat $I_h, A_h, I_m > 0$. Misalkan rata-rata laju infeksi pada populasi manusia adalah r_h dan pada nyamuk adalah r_m dengan nilai,

$$r_h = \alpha \frac{I_m}{N_h}, \tag{12}$$

$$r_m = \theta \frac{I_h}{N_h} \tag{13}$$

Sehingga diperoleh titik kesetimbangan x_{ee}

$$x_{ee} (S_h, I_h, A_h, S_m, I_m) = (S_h^{**}, I_h^{**}, A_h^{**}, S_m^{**}, I_m^{**}) \tag{14}$$

dengan,

$$S_h^{**} = \frac{c_2(c_1c_3(\mu_h + r_h) - r_h\beta c_3 - \gamma\delta(\mu_h + r_h)) + \beta r_h c_2 c_3}{(c_1c_3(\mu_h + r_h) - r_h\beta c_3 - \gamma\delta(\mu_h + r_h))(\mu_h + r_h)},$$

$$I_h^{**} = \frac{r_h c_2 c_3}{c_1c_3(\mu_h + r_h) - r_h\beta c_3 - \gamma\delta(\mu_h + r_h)},$$

$$A_h^{**} = \frac{\delta r_h c_2}{c_1c_3(\mu_h + r_h) - r_h\beta c_3 - \gamma\delta(\mu_h + r_h)},$$

$$S_m^{**} = \frac{\mu_m N_m}{(\mu_m + r_m)},$$

$$I_m^{**} = \frac{\mu_m}{r_m}.$$

dengan syarat:

$$c_1c_3(\mu_h + r_h) > r_h\beta c_3 + \gamma\delta(\mu_h + r_h)$$

3.2.3 Penentuan Bilangan Reproduksi Dasar Model (R_0)

Bilangan reproduksi dasar, dinotasikan dengan R_0 adalah nilai harapan banyaknya populasi rentan yang menjadi terinfeksi tiap satuan waktu. Untuk menentukan bilangan reproduksi dasar digunakan pendekatan *The Next Generation Matrix*. *The Next Generation Matrix* untuk sistem persamaan (1-5) didefinisikan sebagai:

$$R_0 = \rho (\mathbf{F} \cdot \mathbf{V}^{-1}) \tag{15}$$

Dengan $\rho (\mathbf{F} \cdot \mathbf{V}^{-1})$ merupakan spektral radius dari matriks $\mathbf{F} \cdot \mathbf{V}^{-1}$

Spektral radius dari matriks next generation $\mathbf{F} \cdot \mathbf{V}^{-1}$ adalah :

$$\pm \frac{\sqrt{c_1 \mu_m c_6 S_m c_4 S_h}}{c_1 \mu_m} \tag{16}$$

Sehingga bilangan reproduksi dasar R_0 yaitu:

$$R_0 = \frac{\sqrt{c_1 \mu_m c_6 S_m c_4 S_h}}{c_1 \mu_m} \quad (17)$$

Dengan,

$$c_1 = (\beta + \delta + \mu_h + \varepsilon), \quad c_4 = \frac{\alpha}{N_h}, \quad c_6 = \frac{\theta}{N_h}.$$

Selanjutnya dengan substitusi titik tetap bebas penyakit (11) pada persamaan (17), diperoleh

$$R_0 = \sqrt{\frac{\theta \alpha N_m}{N_h (\beta + \delta + \mu_h + \varepsilon) \mu_m}} \quad (18)$$

Persamaan (18) merupakan nilai ambang batas epidemik yang akan menjadi tolak ukur tingkat penyebaran malaria dalam populasi.

4. SIMULASI

Pada bagian simulasi ini, diamati dinamika populasi dalam kondisi ketika $R_0 \leq 1$ dan $R_0 > 1$. Dalam hal ini, R_0 merupakan bilangan reproduksi yang didefinisikan pada persamaan (18). Simulasi dilakukan untuk menunjukkan adanya pengaruh treatment berupa pengobatan pada manusia terhadap dinamika populasi manusia dan populasi nyamuk. Parameter dipilih berdasarkan studi yang dilakukan oleh beberapa peneliti sebelumnya, dan sebagian parameter lainnya ditentukan melalui asumsi-asumsi sehingga memenuhi salah satu data keadaan $R_0 \leq 1$ dan $R_0 > 1$. Nilai-nilai parameter yang memenuhi keadaan $R_0 \leq 1$ disajikan pada tabel 4, dan nilai-nilai parameter yang memenuhi keadaan $R_0 > 1$ disajikan pada tabel 5 serta nilai awal populasi disajikan pada Tabel 3.

Tabel 3 Nilai variabel model SIAS-SI pada penyakit malaria

Variabel	Nilai	Referensi
S_h	1000	Asumsi
I_h	500	Asumsi
A_h	200	Asumsi
S_m	10000	Asumsi
I_m	250	Asumsi

Tabel 4 Nilai parameter $R_0 \leq 1$ model SIAS-SI pada penyakit malaria

Parameter	Nilai	Satuan	Referensi
N_h	1700	Orang/waktu	Asumsi
α	0,010	Waktu ⁻¹	Chitnis et al.,2006
γ	0,005	Waktu ⁻¹	Cai L, 2017
β	0,09	Waktu ⁻¹	Cai L, 2017
δ	0,91	Waktu ⁻¹	Asumsi
μ_h	0,004	Waktu ⁻¹	Agusto et al., 2012
ε_h	0,005	Waktu ⁻¹	Agusto et al., 2012
N_m	7700	Nyamuk/waktu	Asumsi
θ	0,072	Waktu ⁻¹	Chitnis et al.,2006
μ_m	0.11	Waktu ⁻¹	Traore B, 2017

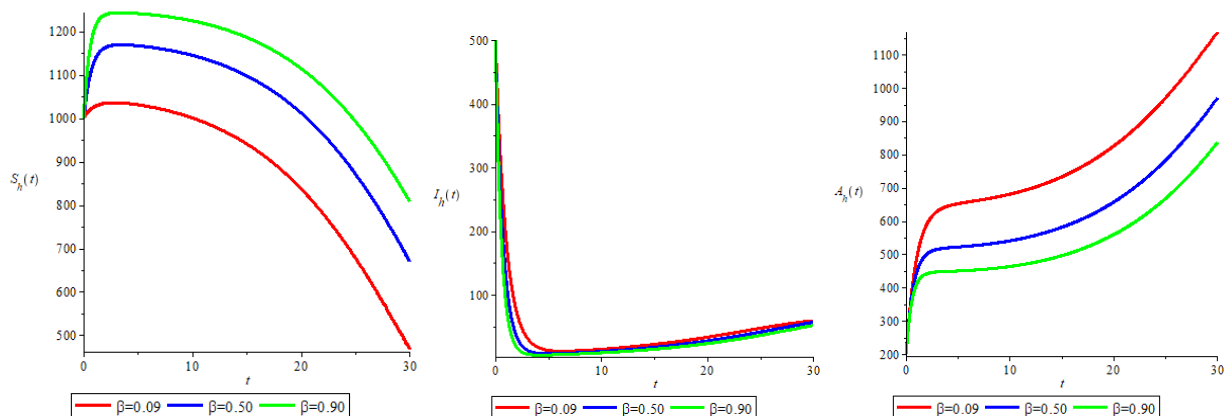
Tabel 5 Nilai parameter $R_0 > 1$ model SIAS-SI pada penyakit malaria

Parameter	Nilai	Satuan	Referensi
N_h	1700	Orang/waktu	Asumsi
α	0,70	Waktu ⁻¹	Asumsi
γ	0,005	Waktu ⁻¹	Cai L, 2017
β	0,09	Waktu ⁻¹	Cai L, 2017
δ	0,91	Waktu ⁻¹	Asumsi
μ_h	0,0016	Waktu ⁻¹	Traore B, 2017
ε_h	0,005	Waktu ⁻¹	Agusto et al., 2012
N_m	7700	Nyamuk/waktu	Asumsi
θ	0,09	Waktu ⁻¹	Cai L, 2017
μ_m	0.11	Waktu ⁻¹	Traore B, 2017

Tabel 6 Hasil simulasi efektivitas pengobatan pada manusia terhadap bilangan reproduksi dasar $R_0 \leq 1$

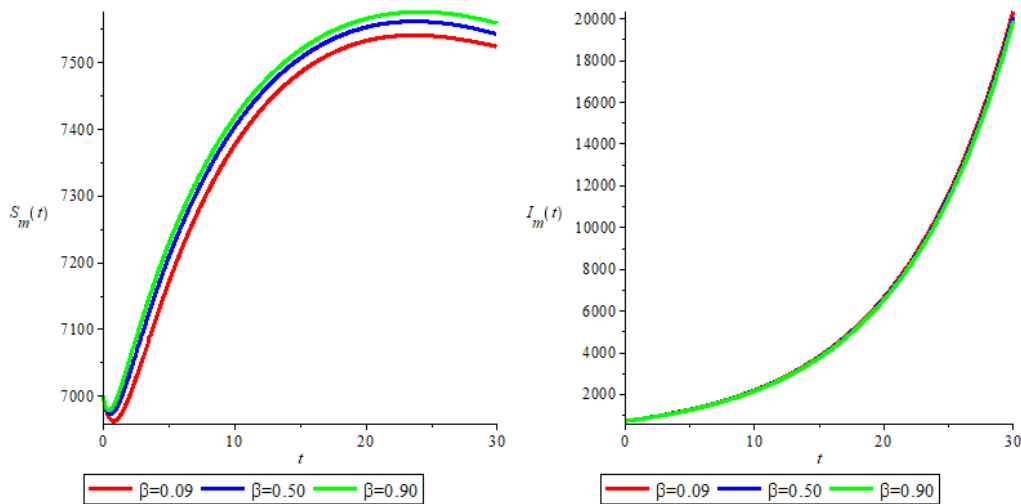
Parameter β	R_0
0,09	0,1916462082
0,50	0.1616049340
0,90	0.1427346665

Pada populasi manusia yang ditunjukkan pada Gambar 2, jika efektivitas pengobatan pada manusia ditingkatkan, maka banyaknya manusia yang terinfeksi dan asimtomatik mengalami penurunan, sementara manusia yang sembuh dan kembali rentan dari penyakit mengalami peningkatan.



Gambar 2 Dinamika populasi manusia karena adanya pengobatan pada manusia

Pada populasi nyamuk yang ditunjukkan pada Gambar 3, jika efektivitas pengobatan pada manusia ditingkatkan, maka banyaknya nyamuk terinfeksi mengalami penurunan walau tidak terlihat signifikan, sementara nyamuk yang rentan mengalami peningkatan.

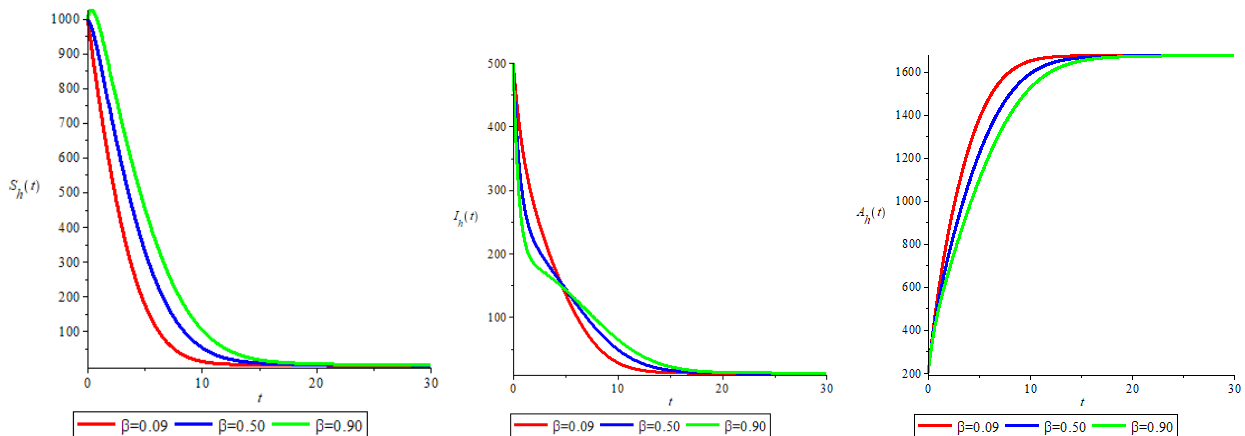


Gambar 3 Dinamika populasi nyamuk karena adanya pengobatan pada manusia

Tabel 7 Hasil simulasi efektivitas pengobatan pada manusia terhadap bilangan reproduksi dasar $R_0 > 1$

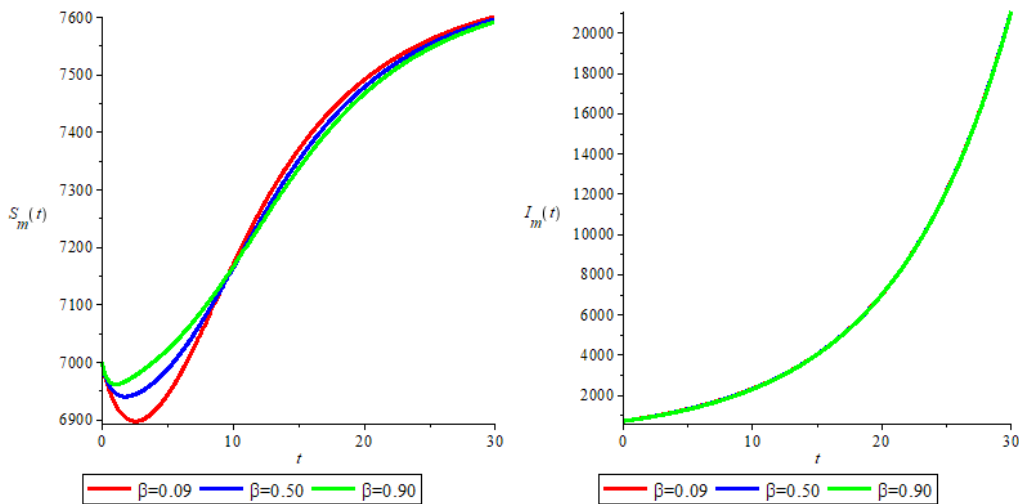
Parameter β	R_0
0,09	1.605337575
0,50	1.353228748
0,90	1.194992499

Pada populasi manusia yang ditunjukkan pada Gambar 4, jika efektivitas pengobatan pada manusia ditingkatkan, maka banyaknya manusia yang terinfeksi dan asimtomatik mengalami penurunan, sementara manusia yang sembuh dan kembali rentan dari penyakit mengalami peningkatan.



Gambar 4 Dinamika populasi manusia karena adanya pengobatan pada manusia

Pada populasi nyamuk yang ditunjukkan pada Gambar 5, jika efektivitas pengobatan pada manusia ditingkatkan, maka banyaknya nyamuk terinfeksi mengalami penurunan walau tidak terlihat signifikan, sementara nyamuk yang rentan mengalami penurunan.



Gambar 5 Dinamika populasi nyamuk karena adanya pengobatan pada manusia

5. KESIMPULAN

Simulasi dan interpretasi model matematika penyakit malaria dengan infeksi asimtomatik dan super infeksi pada populasi yaitu Penularan Malaria dapat disajikan dalam model matematika SIAS-SI. Analisis model memberikan gambaran titik kestimbangan penularan malaria, yang berarti penyakit malaria bertahan pada jumlah tersebut. Pada penelitian ini juga diperoleh bahwa titik kesetimbangan bebas penyakit bersifat stabil asimtotik jika $R_0 \leq 1$ dan titik kesetimbangan endemik bersifat stabil asimtotik jika $R_0 > 1$. Bilangan reproduksi dasar memberikan gambaran keadaan penularan malaria di suatu wilayah yaitu status non endemik atau endemik malaria. Hasil simulasi memberikan gambaran prediksi jumlah kasus malaria di suatu wilayah, yang dapat dijadikan sebagai acuan bagi pemerintah untuk melakukan penanggulangan penyakit malaria dimasa yang akan datang.

DAFTAR PUSTAKA

- Abdullahi MB, Hasan YA, Abdullah FA. 2013. *A Mathematical Model of Malaria and The Effectiveness of Drugs*. Applied Mathematical Sciences. 7(62):30793095.
- Bobby, Syafruddin, dkk. 2017. Analisis Survival Pada Penderita Demam Berdarah Dengue (DBD) Dengan Menggunakan Regresi Cox Di RSUD Sawerigading Palopo. PKPT DIKTI 2017.
- Cai L, Li X, Tuncer N, Maia M, Lashari AA. 2017. Optimal Control of a Malaria Model with Asymptomatic Class and Superinfection. *Mathematical Biosciences*. doi/10.1016/j.mbs.2017.03.00.
- H Maryam, M Abdy, S Side, 2021. SEIAS-SEI model on asymptomatic and super infection malaria with imperfect vaccination, *Journal of Physics: Conference Series* 1918 (4), 042028
- Kemendes RI, 2016. *Infodatin Malaria* <http://www.depkes.go.id/article/view/16090700001/infodatin-malaria.html>. [Diakses 18 April 2019].
- Kemendes RI, 2018. *Hari Malaria Sedunia, Pemerintah Perluas Wilayah Bebas Malaria*. <http://www.depkes.go.id/article/view/18043000010/hari-malaria-sedunia-pemerintah-perluas-wilayah-bebas-malaria.html>. diakses tanggal 18 April 2019.
- Laarabi H, Labriji EH, Rachik M, Kaddar A. 2012. *Optimal Control of an Epidemic Model with a Saturated Incidence Rate*. Modeling and Control. 17(4): 448459.
- Laner K, 2015, "Dynamical Malaria Models Reveal How Immunity Buffers Effect of Climate Variability", DOI: 10.1073/pnas.1419047112.
- N. Fajri, P. Sianturi, T. Bakhtiar. 2016. Model Matematika SIS-SI Dalam Penyebaran Penyakit Malaria dengan Vaksinasi Taksempurna. *Jurnal Manajemen dan Agribisnis*, Vol.15(2). p(51-62).

- Rangkuti, Y.M., Side, S., Noorani, M.S.M., 2014. Numerical analytic solution of SIR model of dengue fever disease in South Sulawesi using homotopy perturbation method and variational iteration method. *Journal of Mathematical and Fundamental Sciences*. 46A(1), 91-105.
- Resmawan & Nurwan. 2017. Konstruksi Bilangan Reproduksi pada Model Epidemik SEIRS-SEI Penyebaran Malaria dengan Vaksinasi dan Pengobatan. DOI:10.24198/jmi.v13.n2.12332.105-114
- Roy M, 2015, *Predictability of Epidemic Malaria Under Non-Stationary Conditions with Process-based Models Combining Epidemiological Updates dan Climate Variability*, DOI: 10.1186/s12936-015-0937-3
- Syafruddin, S. 2015. A Susceptible-Infected-Recovered Model and Simulation for Transmission of Tuberculosis, *Advanced Science Letters*. Volume 21(2):137-139
- Syafruddin, S. and M.S.M Noorani. 2013. A SIR model for spread of dengue fever disease (simulation for south Sulawesi Indonesia and Selangor Malaysia). *World journal of modeling and simulation*; Vol. 9 (2):96-105.
- Syafruddin, S. and M.S.M Noorani. 2013. Lyapunov function of SIR and SEIR model for transmission of dengue fever disease. *International Journal of Simulation and Process Modelling (IJSPM)*. Vol. 8, (2/3):177-184.

● **19% Overall Similarity**

Top sources found in the following databases:

- 16% Internet database
- Crossref database
- 11% Submitted Works database
- 8% Publications database
- Crossref Posted Content database

TOP SOURCES

The sources with the highest number of matches within the submission. Overlapping sources will not be displayed.

1	m.brilio.net Internet	2%
2	digilib.its.ac.id Internet	1%
3	m.medcom.id Internet	1%
4	journal.uin-alaudidin.ac.id Internet	<1%
5	M ZULKIFLI WARLI. "ANALISIS KESTABILAN MODEL PERTUMBUHAN ... Crossref	<1%
6	repository.uin-suska.ac.id Internet	<1%
7	eprints.unm.ac.id Internet	<1%
8	iptek.its.ac.id Internet	<1%

9	jurnal.unpad.ac.id	Internet	<1%
10	prosiding.upgris.ac.id	Internet	<1%
11	iGroup on 2018-05-25	Submitted works	<1%
12	Ainun Fatmawati, Lisnawati R. Aju, Ristina Malango. "MODEL DINAMIK...	Crossref	<1%
13	id.m.wikipedia.org	Internet	<1%
14	Universitas Negeri Surabaya The State University of Surabaya on 2023-...	Submitted works	<1%
15	id.scribd.com	Internet	<1%
16	slideshare.net	Internet	<1%
17	Catholic University of Parahyangan on 2019-11-27	Submitted works	<1%
18	journal.universitasbumigora.ac.id	Internet	<1%
19	Universidad Nacional de Colombia on 2017-11-27	Submitted works	<1%
20	jai.ipb.ac.id	Internet	<1%

- 21

Rimalia, Yundari, Yudhi. "PEMODELAN MATEMATIKA DAN ANALISIS K...

Crossref

<1%
- 22

Universitas Brawijaya on 2018-06-03

Submitted works

<1%
- 23

digilib.unila.ac.id

Internet

<1%
- 24

ml.scribd.com

Internet

<1%
- 25

senti.ft.ugm.ac.id

Internet

<1%
- 26

Safhira Sekar Euchalypta, Irma Fitria, Nashrul Millah. "ANALISIS EKSIS...

Crossref

<1%
- 27

UIN Sunan Gunung Djati Bandung on 2018-10-25

Submitted works

<1%
- 28

Prince Harvim, Hong Zhang, Paul Georgescu, Lai Zhang. "Transmission...

Crossref

<1%
- 29

halosehat.com

Internet

<1%
- 30

Universitas Pendidikan Indonesia on 2022-01-21

Submitted works

<1%

● Excluded from Similarity Report

- Bibliographic material
- Manually excluded text blocks
- Manually excluded sources

EXCLUDED SOURCES

researchgate.net	83%
Internet	
123dok.com	28%
Internet	
core.ac.uk	20%
Internet	
text-id.123dok.com	19%
Internet	
repository.ung.ac.id	15%
Internet	
journal.unhas.ac.id	15%
Internet	
jurnal.unsulbar.ac.id	14%
Internet	
ejurnal.ung.ac.id	13%
Internet	
media.neliti.com	13%
Internet	
scilit.net	13%
Internet	

Padjadjaran University on 2018-08-24	12%
Submitted works	
Resmawan Resmawan. "Efektifitas Vaksinasi dan Pengasapan pada Model Ep...	12%
Crossref	
neliti.com	10%
Internet	
id.123dok.com	10%
Internet	
semantic scholar.org	8%
Internet	
garuda.kemdikbud.go.id	7%
Internet	
adoc.pub	6%
Internet	
journal.ipb.ac.id	6%
Internet	
altmetric.com	5%
Internet	
docplayer.info	5%
Internet	
repository.poltekkes-kdi.ac.id	4%
Internet	
kemkes.go.id	4%
Internet	

sehatnegeriku.kemkes.go.id	4%
Internet	
repository.unimus.ac.id	3%
Internet	
ejournalmalahayati.ac.id	3%
Internet	
repository.poltekeskupang.ac.id	3%
Internet	
repository.unair.ac.id	3%
Internet	
ejournal.undip.ac.id	3%
Internet	
ejournalmalahayati.ac.id	3%
Internet	
journal.stikeskendal.ac.id	3%
Internet	
coursehero.com	3%
Internet	
p2p.kemkes.go.id	3%
Internet	
journal.stikeskendal.ac.id	3%
Internet	
d3v.kemkes.go.id	3%
Internet	

Krida Wacana Christian University on 2018-11-07	3%
Submitted works	
Krida Wacana Christian University on 2018-11-06	3%
Submitted works	
repository.uinsu.ac.id	3%
Internet	
kaltim.tribunnews.com	3%
Internet	
wow.tribunnews.com	3%
Internet	
garuda.ristekdikti.go.id	2%
Internet	
doaj.org	2%
Internet	
sciencegate.app	2%
Internet	
repository.ub.ac.id	2%
Internet	
journal-old.unhas.ac.id	2%
Internet	
EXCLUDED TEXT BLOCKS	
SAINTIFIK:Jurnal Matematika, Sains, dan PembelajarannyaVol	
repository.unisda.ac.id	

Universitas Negeri Makassare-mail: *1muh.abdy@unm.ac.id

ojs.unsulbar.ac.id

1,2

Muhammad Abdy, Wahidah Sanusi, Rahmawati Rahmawati. "APLIKASI MODEL RANTAI MARKOV UNTUK M...

unm.ac.idAbstrakPenelitian ini

Muhammad Abdy, Wahidah Sanusi, Rahmawati Rahmawati. "APLIKASI MODEL RANTAI MARKOV UNTUK M...

https://jurnal.unsulbar.ac.id/index.php/saintifik

pdfs.semanticscholar.org

https://jurnal

repository.ubharajaya.ac.id

saintifik

eprints.unm.ac.id

I m S h

eprints.unm.ac.id

dtdS m?dt

Fereshte Gazori, Mahmoud Hesaaraki. "Minimum wave speed for dengue prevalence in the symptomatic an...

dS hdt= 0,dl h

etd.astu.edu.et

dS m

University Der Es Salaam on 2022-08-25

Sh,lh

etd.astu.edu.et

https://jurnal.unsulbar.ac.id/index.php/saintifik

pdfs.semanticscholar.org

<https://jurnal.unsulbar.ac.id/index.php/saintifik>

pdfs.semanticscholar.org

saintifik

eprints.unm.ac.id

<https://jurnal.unsulbar.ac.id/index.php>

pdfs.semanticscholar.org